

## 1. 緒言

低拘束圧の下でせいい性的な破壊特性を示し、高拘束圧の下で延性的なそれを示す材料は総称して岩質材料と名づけられている。著者らは先の報告において岩質材料に関する応力-ひずみ関係をエネルギー的降伏規準に基く降伏条件式から導き、その妥当性を検討した。

しかしながら、その構成式は硬化パラメータが直接的には関与しない形で表示されており、硬化パラメータを組み入れた構成式の確立は力学挙動をより明確なものにするために重要であると思われる。またこれと関連して有限要素法などの数値計算においては速度形式の構成式が必要とされている。そこで今回は岩質材料の初期降伏以後の硬化パラメータを考慮した構成式を求めるために、塑性仕事と体積変形とせん断変形に関する部分に分解し、それらを引数とする硬化パラメータの表示式を提案する。次にそれを用いて速度形式の構成式を導き、実験結果との対応関係についても考察する。

## 2. 硬化パラメータの表示式

著者らは先にエネルギー的降伏規準に基く次のような降伏関数を提案した。

$$f = J_2 + 3\sqrt{J_2} + \gamma I_1^2 + \lambda I_1 - k = 0 \quad (1)$$

ここに  $J_2$ : 偏差応力の2次不変量、 $I_1$ : 応力の1次不変量、 $\gamma, \lambda$ : 材料定数、 $k$ : 硬化パラメータである。三軸圧縮試験における式(1)の初期降伏曲面はFig. 1 に示されており、破壊曲面も含めて示されている。図中において  $\dot{\epsilon}$  は平均主応力、 $\dot{\gamma}$  は偏差応力であり、初期降伏点を示す。印と破壊点を示す。印はそれぞれ実験値である。式(1)において硬化パラメータ  $k$  の形は未定であり、これを決定することが問題となる。多くの場合、硬化パラメータは塑性仕事の関数であると仮定される。金属などの無孔物質では塑性変形が静水圧に無関係であり、塑性

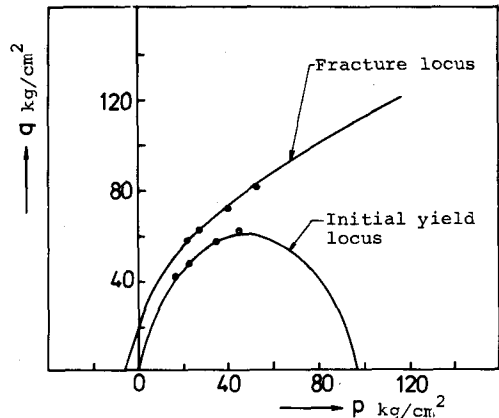


Fig. 1 Initial yield and fracture loci for triaxial compression tests of soft sedimentary rock. (From Akai et al.<sup>4)</sup>)

仕事のせん断変形に関する部分のみが硬化パラメータの引数として用いられる。しかし岩質材料などの多孔物質において塑性変形は静水圧の影響を受け、塑性体積ひずみの変化も生じる。それゆえ硬化パラメータの決定には塑性仕事の体積変形に関する項も考慮しなければならないと考えられる。そこで塑性仕事速度を次のようく体積変形とせん断変形に関する部分に分解しておく。

$$T^{\dot{\epsilon}} \dot{E}_{ij}^P = \frac{1}{3} T^{kk} \dot{E}_{kk}^P + T^{\dot{\gamma}} \dot{E}_{ij}^P \quad (2)$$

次に上に述べた考え方とともに硬化パラメータの最も簡単な例として式(2)の右辺の第1項と第2項を引数とする硬化パラメータ  $k$  の表示式

$$k = \rho_1 \frac{1}{3} T^{kk} \dot{E}_{kk}^P + \rho_2 T^{\dot{\gamma}} \dot{E}_{ij}^P \quad (3)$$

を仮定する。ここに  $\cdot$  は速度を示し、 $\rho_1, \rho_2$  はそれぞれ材料定数であり実験結果から決定されるものである。

## 3. 応力-ひずみ関係

弾塑性材料としての岩質材料に関して塑性ひずみ速度ベクトルの降伏曲面への直交性を仮定する。さらに降伏関数  $f$  の引数として応力テンソル  $T^{\dot{\epsilon}}$  と硬化パラメータ  $k$ だけを考えると次のような塑性

ひずみ速度  $\dot{E}_{ij}^P$  と応力  $T^{ij}$  の関係が得られる。<sup>3)</sup>

$$\dot{E}_{ij}^P = \frac{\frac{\partial f}{\partial T^{kk}} \dot{T}^{kk}}{\frac{\partial k}{\partial E_{mn}^P} \frac{\partial f}{\partial T^{mn}}} \quad (4)$$

次に三軸圧縮試験について考えよう。拘束圧を  $\sigma_1 = \sigma_2$  とし、軸圧を  $\sigma_3$  とするとき偏心応力は  $g = \sigma_3 - \sigma_1$  と定義される。また  $\epsilon_{ij}^P$  を軸方向の塑性ひずみ、 $\epsilon_{ij}^P$  をそれに垂直な方向の塑性ひずみとすると軸方向の偏心塑性ひずみは  $\epsilon^P = \frac{2}{3}(\epsilon_{ij}^P - \epsilon_{ij}^P)$  となる。このとき式(1), (3), (4) を用いると次式を得る。

$$\begin{aligned} \frac{\dot{\epsilon}^P}{g} &= \left( \frac{2}{3} g + \frac{3}{\sqrt{3}} \right) \left\{ \left( \frac{2}{3} + 2\beta_1 \right) g + \frac{3}{\sqrt{3}} + 6\beta_1 - \gamma \right\} \\ &\quad / \left[ \left( 2\beta_1 + \frac{2}{3}\beta_2 \right) g^2 + \left\{ 3\beta_1 \left( 4\beta_1 - \frac{d}{3} \right) + \frac{3}{\sqrt{3}}\beta_2 \right\} g \right. \\ &\quad \left. + 3\beta_1\beta_2(6\beta_1 - \gamma) \right] \end{aligned} \quad (5)$$

さて岩質材料について式(3)あるいは式(5)に含まれる材料定数  $\beta_1, \beta_2$  を具体的に決めるためには赤井ら<sup>4)</sup>の堆積軟岩の実験結果を用いる。式(5)において材料定数 3, 2,  $\gamma$  は先の報告<sup>2)</sup>により既知の値であり、ここでは次のような実験値を参考にする。

拘束圧  $\sigma_1 = \sigma_2 = 15 \text{ kg/cm}^2$  のもとで

- (i) 初期降伏時において偏心応力  $g = 57 \text{ kg/cm}^2$ , (6)
  - (ii) 破壊時において  $g = 72 \text{ kg/cm}^2$ ,  $\dot{\epsilon}^P/g = \infty$ , (7)
  - (iii)  $g = 70 \text{ kg/cm}^2$  のとき  $\epsilon^P = 0.2 \times 10^{-2}$ , (8)
- 式(5)～(8)を用いると次のような値が得られる。

$$\left. \begin{aligned} \beta_1 &= -1.09 \times 10^5 \\ \beta_2 &= -1.79 \times 10^4 \end{aligned} \right\} \quad (9)$$

式(9)を式(5)に代入し、積分すると拘束圧  $\sigma_1 = \sigma_2 = 15 \text{ kg/cm}^2$  のときの応力-ひずみ曲線は次のようにになる。

$$\epsilon^P = 1.45 \times 10^{-5} \left\{ 265 - g - 75.4 \ln(72-g) \right. \\ \left. - 0.8 \ln(45.2+g) \right\} \quad (10)$$

ここで得られた式(10)は式(6)～(8)を満たすものである。図示すると Fig. 2 における実線のようになる。なお図中の○印は実験値を示している。

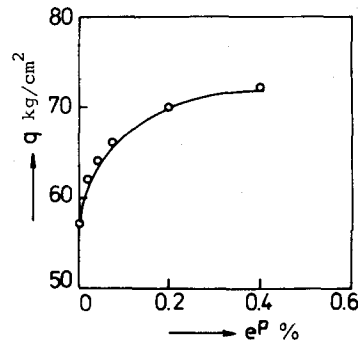


Fig. 2 Stress-strain curve. (From Akai et al.<sup>4)</sup>)

拘束圧が  $15 \text{ kg/cm}^2$  と異なる場合についても同様にして  $\beta_1, \beta_2$  が求められるが、材料定数としてはこれら得られた値の平均値を採用することになる。次に速度形式の応力-ひずみ関係は次のように書ける。

$$\dot{\tau}^{ij} = D^{ijpq} \dot{E}_{pq} \quad (11)$$

これに

$$\left. \begin{aligned} D^{ijpq} &= eD^{ijpq} - M^{ijpq} \\ M^{ijpq} &= \frac{eD^{ijke} \frac{\partial f}{\partial T^{kk}} \frac{\partial f}{\partial T^{mn}} D^{mnpq}}{\frac{\partial k}{\partial E_{mn}^P} \frac{\partial f}{\partial T^{mn}} + eD^{klemn} \frac{\partial f}{\partial T^{kk}} \frac{\partial f}{\partial T^{mn}}} \end{aligned} \right\} \quad (12)$$

である。 $eD^{ijpq}$  は弾性係数の4階のテンソルである。ゆえに式(12)に式(1), (3)を代入すれば式(11)の関係式は決定される。

#### 4. 考察 および あとがき

レオジ的には考え方に基いた硬化パラメータの表示式を求め、これを用いて応力-ひずみ関係を導いた。このようにして得られた応力-ひずみ関係は実験結果をよく表わしうるものと思われる。今後は破壊挙動及び粘弾塑性を考慮した構成式などを開発してゆきたいと思う。

#### 参考文献

- 1) 小林昭一，“岩質材料ならびにそれより成る系のせん性破壊規準に関する基礎的研究”，京都大学博士論文，昭和47年1月。
- 2) 平井, 佐武，“エリゼ的降伏規準に基く岩質材料の応力-ひずみ関係”，東北支部技術研究発表会講演概要，昭和55年3月, pp. 217-218
- 3) Fung, Y. C., “Foundations of Solid Mechanics”, (大橋訳), 増風館, 1965, pp. 146-149.
- 4) 赤井, 足立, 西, “堆積軟岩の弾・塑性挙動”, 土木学会論文報告集, 第271号, 1978, pp. 83-95.